

## 5

### Formulação matemática e modelagem computacional de escoamento com pseudo-solidificação

Em geral, os processos de revestimento são necessariamente acompanhados por algum grau de solidificação. Antes da solidificação, o fluido de revestimento é caracterizado pelo estado líquido, onde ocorre escoamento por efeito capilar ou gravitacional. Após esta primeira etapa, começa um intervalo de transição no qual o fluido alcança altas viscosidades e apresenta um comportamento viscoelástico. Por último, após a solidificação, o material atinge um estado sólido elástico, onde aparecem as concentrações de tensões nas extremidades.

No processo de revestimento dos cilindros fotorreceptores o fluido utilizado consiste de uma solução composta por um soluto e um solvente, onde o soluto é um fluoroelastômero com um aditivo para incrementar a condutividade térmica [2]. Uma das principais características de revestimento com solventes é a utilização de solventes voláteis, sendo assim, o processo de revestimento é seguido por um processo de secagem. Em alguns casos, os dois processos ocorrem simultaneamente [68], como nos métodos de revestimento por imersão (*spin coating*), por espalhamento centrífugo (*dip coating*) e no processo analisado neste trabalho. Os trabalhos teóricos parcialmente confirmados com resultados experimentais de Drike & Wang [69], mostram que as propriedades líquidas mudam a medida que o solvente evapora. A figura 5.1a) apresenta a variação da viscosidade em função da fração de solvente na massa remanescente, de acordo com a equação apresentada por Bornside [68]:

$$\eta = \eta_o(1 - x_A)^4 + \eta_s, \quad (5-1)$$

onde  $\eta_o = 10^6 \text{cP}$  e  $\eta_s = 1 \text{cP}$  e  $x_A$  é a fração em massa do solvente A, quando o sistema é monosolvente. A figura 5.1b) apresenta a variação da concentração do solvente em função do tempo de um sistema com solvente volátil (tolueno) obtida por Drike & Wang [69]. Pode-se observar que a viscosidade aumenta exponencialmente em função do tempo.

No presente trabalho a solidificação será descrita por um modelo simples, sem perda de massa, i.e. sem evaporação. Será considerada a variação da

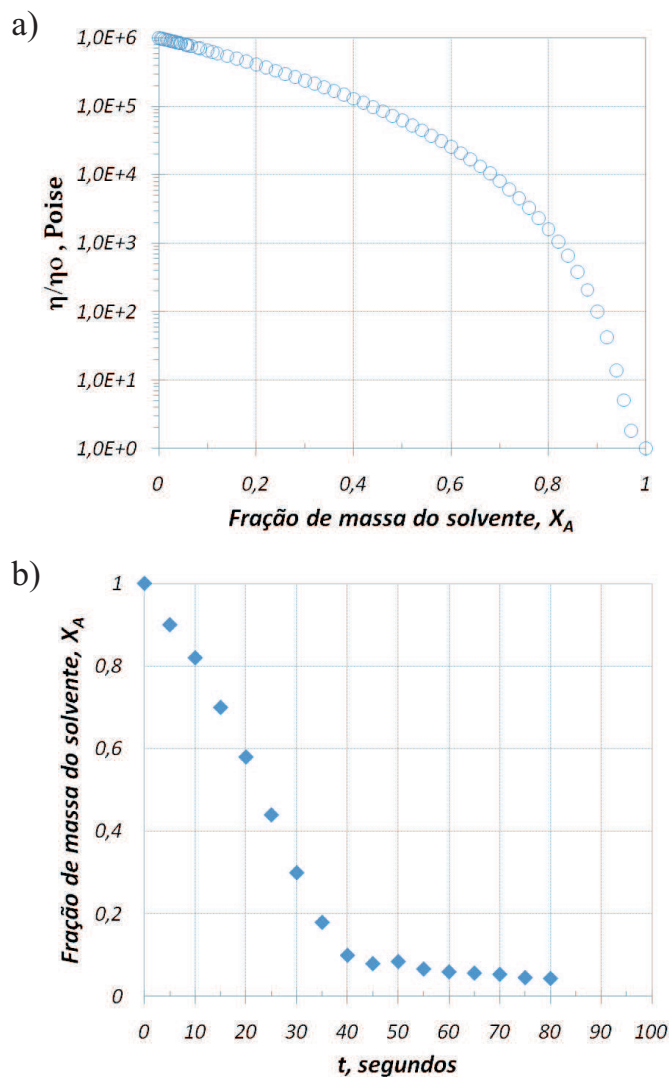


Figura 5.1: a) Viscosidade em função da concentração de massa do solvente. b) Variação da fração de massa de um sistema com solvente volátil (tolueno) obtida por Drike & Wang [69].

viscosidade do fluido em função do tempo e da posição  $\eta(\theta, y, t)$ . Este modelo é de pseudo-solidificação. O tempo de residência do fluido em cada posição do cilindro não é constante porque a viscosidade varia ao longo da superfície já revestida.

As hipóteses simplificadoras consideradas durante a formulação matemática do problema físico são:

1. Fluido incompressível.
2. Regime laminar.
3. Fluido Newtoniano.
4. Viscosidade do líquido em função do tempo.

5. Sem transferência de calor e massa.

## 5.1

### Formulação

O objetivo aqui é representar o processo de pseudo-solidificação do líquido injetado na superfície de um cilindro circular de raio  $R$ , que experimenta uma taxa de rotação constante  $\Omega$  ao redor do seu eixo orientado perpendicularmente com a gravidade. Apesar do fluido ser considerado newtoniano, a viscosidade varia com a posição na superfície do cilindro, já que o tempo de residência do fluido localizado em cada ponto não é constante. Quanto mais longe o líquido está da posição da porta injetora, maior será a viscosidade. Como no capítulo anterior, o movimento do fluido na superfície do cilindro, na direção polar, será expressado pela combinação da rotação de um corpo rígido  $r\Omega$  e um escoamento adicional denotado por  $u$ , assim, o vetor velocidade é dado por:

$$\mathbf{u}(r, \theta, y, t) = w\mathbf{e}_r + (r\Omega + u)\mathbf{e}_\theta + v\mathbf{e}_y \quad (5-2)$$

onde  $\mathbf{e}_r$ ,  $\mathbf{e}_\theta$  e  $\mathbf{e}_y$  são as coordenadas dos vetores unitários fixados num sistema de referência que não apresenta rotação e é independente do tempo;  $w$ ,  $(r\Omega + u)$  e  $v$  são os componentes na direção radial, azimutal e axial, respectivamente. O vetor da aceleração da gravidade é  $\mathbf{g} = g(-\sin\theta\mathbf{e}_r - \cos\theta\mathbf{e}_\theta)$ .

A diferença desta formulação em relação à apresentada no capítulo anterior é que a viscosidade varia com a posição ao longo da superfície do cilindro. Esta diferença leva a uma nova formulação da equação de filme fino, não disponível na literatura. Por este motivo, a derivação da formulação da equação de evolução da espessura do filme é apresentada em detalhe neste capítulo.

As equações de conservação para um fluido incompressível em coordenadas cilíndricas são:

- Equação de continuidade:

$$\nabla \cdot \mathbf{u} = \frac{1}{r} \frac{\partial(rw)}{\partial r} + \frac{1}{r} \frac{\partial(r\Omega + u)}{\partial \theta} + \frac{\partial(v)}{\partial y} = 0 \quad (5-3)$$

- Equação de conservação de quantidade de movimento:

$$\rho \left( \frac{\partial \mathbf{u}}{\partial t} + \mathbf{u} \cdot \nabla \mathbf{u} \right) = \nabla \cdot \left[ -p\mathbf{I} + \underline{\underline{\tau}} \right] + \rho \mathbf{g} \quad (5-4)$$

- As parcelas do componente do divergente do tensor das tensões na direção radial são:

$$\frac{1}{r} \frac{\partial}{\partial r} (r\tau_{rr}) = \frac{1}{r} \frac{\partial}{\partial r} \left[ r^2 \eta \frac{\partial u_r}{\partial r} \right] = \frac{1}{r} \frac{\partial}{\partial r} \left[ r^2 \frac{\partial u_r}{\partial r} \right] \eta + 2 \frac{\partial u_r}{\partial r} \frac{\partial \eta}{\partial r} \quad (5-5)$$

$$\frac{1}{r} \frac{\partial}{\partial \theta} (\tau_{r\theta}) = \frac{1}{r} \eta \frac{\partial}{\partial \theta} \left[ r \frac{\partial}{\partial r} \left( \frac{u_\theta}{r} \right) + \frac{1}{r} \frac{\partial u_r}{\partial \theta} \right] + \left( \frac{\partial}{\partial r} \left( \frac{u_\theta}{r} \right) + \frac{1}{r^2} \frac{\partial u_r}{\partial \theta} \right) \frac{\partial \eta}{\partial \theta} \quad (5-6)$$

$$\frac{\partial}{\partial y} (\tau_{ry}) = \eta \frac{\partial}{\partial y} \left( \frac{\partial u_y}{\partial r} + \frac{\partial u_r}{\partial y} \right) + \left( \frac{\partial u_y}{\partial r} + \frac{\partial u_r}{\partial y} \right) \frac{\partial \eta}{\partial y} \quad (5-7)$$

- As parcelas do componente do divergente do tensor das tensões na direção polar são:

$$\begin{aligned} \frac{1}{r^2} \frac{\partial}{\partial r} (r^2 \tau_{r\theta}) &= \frac{1}{r^2} \eta \frac{\partial}{\partial r} \left( r^2 \left[ r \frac{\partial}{\partial r} \left( \frac{u_\theta}{r} \right) + \frac{1}{r} \frac{\partial u_r}{\partial r} \right] \right) \\ &\quad + \left( r \frac{\partial}{\partial r} \left( \frac{u_\theta}{r} \right) + \frac{1}{r} \frac{\partial u_r}{\partial r} \right) \frac{\partial \eta}{\partial r} \end{aligned} \quad (5-8)$$

$$\frac{1}{r} \frac{\partial}{\partial \theta} (\tau_{\theta\theta}) = \frac{1}{r} 2\eta \frac{\partial}{\partial \theta} \left( \frac{1}{r} \frac{\partial u_\theta}{\partial \theta} + \frac{u_r}{r} \right) + \frac{1}{r} 2 \left( \frac{1}{r} \frac{\partial u_\theta}{\partial \theta} + \frac{u_r}{r} \right) \frac{\partial \eta}{\partial \theta} \quad (5-9)$$

$$\frac{\partial}{\partial y} (\tau_{\theta y}) = \eta \frac{\partial}{\partial y} \left( \frac{\partial u_\theta}{\partial y} + \frac{1}{r} \frac{\partial u_y}{\partial \theta} \right) + \left( \frac{\partial u_\theta}{\partial y} + \frac{1}{r} \frac{\partial u_y}{\partial \theta} \right) \frac{\partial \eta}{\partial y} \quad (5-10)$$

- As parcelas do componente do divergente do tensor das tensões na direção axial são:

$$\frac{1}{r} \frac{\partial}{\partial r} (r \tau_{ry}) = \frac{1}{r} \eta \frac{\partial}{\partial r} \left( r \left( \frac{\partial u_y}{\partial r} + \frac{\partial u_r}{\partial y} \right) \right) + \eta \left( \frac{\partial u_y}{\partial r} + \frac{\partial u_r}{\partial y} \right) \frac{\partial \eta}{\partial r} \quad (5-11)$$

$$\frac{1}{r} \frac{\partial}{\partial \theta} (\tau_{\theta y}) = \frac{1}{r} \eta \frac{\partial}{\partial \theta} \left( \frac{\partial u_\theta}{\partial y} + \frac{1}{r} \frac{\partial u_y}{\partial \theta} \right) + \frac{1}{r} \left( \frac{\partial u_\theta}{\partial y} + \frac{1}{r} \frac{\partial u_y}{\partial \theta} \right) \frac{\partial \eta}{\partial \theta} \quad (5-12)$$

Substituindo os componentes do vetor de velocidade  $u = w\mathbf{e}_r + (r\Omega + u)\mathbf{e}_\theta + v\mathbf{e}_y$  na equação de conservação de quantidade de movimento, temos:

- Na direção radial:

$$\begin{aligned} \left[ \frac{\partial w}{\partial t} + w \frac{\partial w}{\partial r} + \frac{u}{r} \frac{\partial w}{\partial \theta} + v \frac{\partial w}{\partial y} - \frac{u^2}{r} \right] + \Omega \left( \frac{\partial w}{\partial \theta} - 2u \right) - r\Omega^2 = \\ - \frac{1}{\rho} \frac{\partial p}{\partial r} + \frac{\eta}{\rho} \left[ \nabla^2 w - \frac{w}{r^2} - \frac{2}{r^2} \frac{\partial u}{\partial \theta} \right] - g \sin \theta + \\ \frac{1}{\rho} \left[ 2 \frac{\partial w}{\partial r} \frac{\partial \eta}{\partial r} + \left( \frac{\partial}{\partial r} \left( \frac{u}{r} \right) + \frac{1}{r^2} \frac{\partial w}{\partial \theta} \right) \frac{\partial \eta}{\partial \theta} + \left( \frac{\partial v}{\partial r} + \frac{\partial w}{\partial y} \right) \frac{\partial \eta}{\partial y} \right] \end{aligned} \quad (5-13)$$

- Na direção polar:

$$\begin{aligned} & \left[ \frac{\partial u}{\partial t} + w \frac{\partial u}{\partial r} + \frac{u}{r} \frac{\partial u}{\partial \theta} + v \frac{\partial u}{\partial y} + \frac{uw}{r} \right] + \Omega \left( \frac{\partial u}{\partial \theta} + 2w \right) = \\ & - \frac{1}{\rho r} \frac{\partial p}{\partial \theta} + \frac{\eta}{\rho} \left[ \nabla^2 u - \frac{u}{r^2} + \frac{2}{r^2} \frac{\partial w}{\partial \theta} \right] - g \cos \theta + \\ & \frac{1}{\rho} \left[ \left( r \frac{\partial}{\partial r} \left( \frac{u}{r} \right) + \frac{1}{r} \frac{\partial w}{\partial \theta} \right) \frac{\partial \eta}{\partial r} + \frac{2}{r} \left( \frac{1}{r} \frac{\partial u}{\partial \theta} + \frac{w}{r} \right) \frac{\partial \eta}{\partial \theta} + \left( \frac{\partial u}{\partial y} + \frac{1}{r} \frac{\partial v}{\partial \theta} \right) \frac{\partial \eta}{\partial y} \right] \end{aligned} \quad (5-14)$$

- Na direção axial:

$$\begin{aligned} & \left[ \frac{\partial v}{\partial t} + w \frac{\partial v}{\partial r} + \frac{u}{r} \frac{\partial v}{\partial \theta} + v \frac{\partial v}{\partial y} \right] + \Omega \frac{\partial v}{\partial \theta} = - \frac{1}{\rho} \frac{\partial p}{\partial y} + \frac{\eta}{\rho} \left[ \nabla^2 v \right] + \\ & \frac{1}{\rho} \left[ \left( \frac{\partial v}{\partial r} + \frac{\partial w}{\partial y} \right) \frac{\partial \eta}{\partial r} + \frac{1}{r} \left( \frac{\partial u}{\partial y} + \frac{1}{r} \frac{\partial v}{\partial \theta} \right) \frac{\partial \eta}{\partial \theta} + 2 \frac{\partial v}{\partial y} \frac{\partial \eta}{\partial y} \right] \end{aligned} \quad (5-15)$$

onde  $p$ ,  $\eta$  e  $\rho$  são a pressão, a viscosidade e a densidade do líquido, respectivamente. As equações devem ser resolvidas no intervalo  $0 < z < h$ , onde  $z$  é a nova coordenada radial modificada  $z = r - R$ , e  $h$  é a espessura da camada de líquido na superfície do cilindro  $h(\theta, y, t)$ . Assim, as equações indicadas deverão ser resolvidas no intervalo de  $z$ , considerando as seguintes condições de contorno:

1. Na superfície do cilindro em movimento será aplicada a condição de contorno de não deslizamento,  $z = 0$ .

$$w = u = v = 0 \quad (5-16)$$

2. Na interface líquido-gás, i.e. na superfície livre  $z = h$ , a tensão de cisalhamento é desprezível porque o gás é considerado como sendo não viscoso e aparece a tensão normal no líquido devido aos efeitos da pressão e da tensão superficial, assim:

$$\hat{\mathbf{n}} \cdot \underline{\underline{\mathbf{T}}}_\alpha = 0, \quad \text{para } \alpha = \{\theta, y\}; \quad (5-17)$$

$$-p + \eta(\hat{\mathbf{n}} \cdot \underline{\underline{D}} \cdot \hat{\mathbf{n}}) = -\sigma \kappa. \quad (5-18)$$

onde  $\underline{\underline{D}} = 1/2(\nabla u + \nabla u^T)$  é o tensor taxa de deformação do líquido, e  $\hat{\mathbf{n}}$ ,  $\hat{\mathbf{t}}_\alpha$  são os vetores normal e tangente à superfície livre, respectivamente. A tensão superficial  $\sigma$  é assumida constante e  $\kappa$  é a curvatura da superfície livre.

3. A condição de contorno cinemática é imposta na superfície livre, assim

$DF/Dt = 0$ ; onde  $F$  é a função que define a superfície livre  $F(\theta, y, z, t) = z - h(\theta, y, t) = 0$ . Esta condição é usada para obter a equação de evolução da espessura do filme.

Para avaliar a condição de contorno da tensão de cisalhamento é necessário o cálculo dos vetores unitários normal e tangente à superfície. O vetor unitário normal à uma superfície cilíndrica é dado por:

$$\hat{\mathbf{n}} = \frac{\nabla F}{|\nabla F|} = \frac{1}{N} \left( e_r - \frac{1}{r} \frac{\partial h}{\partial \theta} e_\theta - \frac{\partial h}{\partial y} e_y \right) \quad (5-19)$$

onde:

$$N = \sqrt{1 + \left( \frac{1}{r} \frac{\partial h}{\partial \theta} \right)^2 + \left( \frac{\partial h}{\partial y} \right)^2}$$

Os dois vetores tangentes à superfície livre são:

$$\begin{aligned} \hat{\mathbf{t}}_1 &= \left( 1 + \left( \frac{1}{r} \frac{\partial h}{\partial \theta} \right)^2 \right)^{-0,5} \left( \frac{1}{r} \frac{\partial h}{\partial \theta} e_r + e_\theta \right), \\ \hat{\mathbf{t}}_2 &= \left( 1 + \left( \frac{\partial h}{\partial y} \right)^2 \right)^{-0,5} \left( \frac{\partial h}{\partial y} e_r + e_y \right) \end{aligned} \quad (5-20)$$

A curvatura média da superfície livre é dada por:

$$\begin{aligned} \kappa = \nabla \cdot \hat{\mathbf{n}} &= \frac{1}{N^3} \left\{ \frac{1}{r} \left[ 1 + 2 \left( \frac{1}{r} \frac{\partial h}{\partial \theta} \right)^2 + \left( \frac{\partial h}{\partial y} \right)^2 \right] - \frac{1}{r^2} \frac{\partial^2 h}{\partial \theta^2} \left[ 1 + \left( \frac{\partial h}{\partial y} \right)^2 \right] - \right. \\ &\quad \left. \frac{\partial^2 h}{\partial y^2} \left[ 1 + \left( \frac{1}{r} \frac{\partial h}{\partial \theta} \right)^2 \right] + \frac{2}{r^2} \frac{\partial h}{\partial \theta} \frac{\partial h}{\partial y} \frac{\partial^2 h}{\partial y \partial \theta} \right\} \end{aligned} \quad (5-21)$$

## 5.2

### Teoria de lubrificação bi-dimensional

As equações de conservação mencionadas anteriormente junto com suas condições de contorno descrevem completamente o problema, porém são complicadas de serem resolvidas. Como indicado nos capítulos anteriores, a equação pode ser simplificada devido ao baixo valor da razão  $\epsilon = H/R \ll 1$ , onde  $H$  é a espessura característica de filme. As equações de conservação podem ser expandidas numa série de potência de  $\epsilon$ , com o objetivo de se obter a chamada *thin film approximation* ou aproximação de filme fino. O objetivo é simplificar a formulação sem perda da precisão dos resultados obtidos.

As equações de conservação e suas respectivas condições de contorno são escritas na forma adimensional pela introdução de quantidades denotadas por barras, levando em consideração que a viscosidade  $\eta$  não é mais uma constante

e tornando-se adimensional em função de uma viscosidade característica  $\mu$ :

$$\begin{aligned} \bar{z} &= \frac{z}{\epsilon R}; & \bar{h} &= \frac{h}{\epsilon R}; & \bar{y} &= \frac{y}{R}; & \bar{r} &= \frac{r}{R}; & \bar{r} &= 1 + \epsilon \bar{z} \\ \bar{u} &= \frac{u}{U}; & \bar{v} &= \frac{v}{U}; & \bar{w} &= \frac{w}{\epsilon U}; & \bar{p} &= \frac{p}{P}; & \bar{\eta} &= \frac{\eta}{\mu}; & \bar{t} &= \frac{t}{T} \end{aligned} \quad (5-22)$$

A velocidade característica ao longo da superfície  $U$  é definida como:

$$U = \rho g H^2 / \mu, \quad (5-23)$$

A pressão característica como:

$$P = \rho g H \quad (5-24)$$

e o tempo característico como:

$$T = R/U \quad (5-25)$$

O componente da velocidade radial é adimensionalizado por  $(H/R)U$ , para manter todos os termos da equação de continuidade na mesma ordem. A formulação adimensional é dada por:

$$\frac{1}{\bar{r}} \frac{\partial(\bar{r}\bar{w})}{\partial\bar{z}} + \frac{1}{\bar{r}} \frac{\partial(\bar{u})}{\partial\theta} + \frac{\partial(\bar{v})}{\partial\bar{y}} = 0, \quad (5-26)$$

$$\begin{aligned} \epsilon^2 \Re & \left[ \epsilon \frac{R}{UT} \frac{\partial\bar{w}}{\partial\bar{t}} + \epsilon\bar{w} \frac{\partial\bar{w}}{\partial\bar{z}} + \epsilon \frac{\bar{u}}{\bar{r}} \frac{\partial\bar{w}}{\partial\theta} + \epsilon v \frac{\partial\bar{w}}{\partial\bar{y}} - \frac{\bar{u}^2}{\bar{r}} \right] \\ & + \epsilon^2 \frac{W}{M} \left( \frac{\epsilon\partial\bar{w}}{\partial\theta} - 2\bar{u} \right) - W^2 \bar{r} \\ & = - \frac{P}{\rho g H} \frac{\partial\bar{p}}{\partial\bar{z}} + \bar{\eta} \epsilon \left[ \bar{\nabla}^2 \bar{w} - \epsilon^2 \frac{\bar{w}}{\bar{r}^2} - 2 \frac{\epsilon}{r^2} \frac{\partial\bar{u}}{\partial\theta} \right] - \sin\theta + \\ \epsilon^2 & \left[ \frac{2}{\epsilon} \frac{\partial\bar{w}}{\partial\bar{z}} \frac{\partial\bar{\eta}}{\partial\bar{z}} + \left( \frac{1}{\bar{r}} \frac{\partial\bar{u}}{\partial\bar{z}} - \frac{\bar{u}}{\bar{r}^2} + \frac{\epsilon}{\bar{r}^2} \frac{\partial\bar{w}}{\partial\theta} \right) \frac{\partial\bar{\eta}}{\partial\theta} + \left( \frac{1}{\epsilon} \frac{\partial\bar{v}}{\partial\bar{z}} + \epsilon \frac{\partial\bar{w}}{\partial\bar{y}} \right) \frac{\partial\bar{\eta}}{\partial\bar{y}} \right], \end{aligned} \quad (5-27)$$

$$\begin{aligned} \epsilon^2 \Re & \left[ \frac{R}{UT} \frac{\partial\bar{u}}{\partial\bar{t}} + \bar{w} \frac{\partial\bar{u}}{\partial\bar{z}} + \frac{\bar{u}}{\bar{r}} \frac{\partial\bar{u}}{\partial\theta} + \bar{v} \frac{\partial\bar{u}}{\partial\bar{y}} + \epsilon \frac{\bar{u}\bar{w}}{\bar{r}} \right] \\ & + \epsilon^2 \frac{W}{M} \left( \frac{\partial\bar{u}_\theta}{\partial\theta} + 2\epsilon\bar{w} \right) \\ & = - \frac{P}{\rho g R} \frac{1}{\bar{r}} \frac{\partial\bar{p}}{\partial\theta} + \bar{\nabla}^2 \bar{u} - \epsilon^2 \frac{\bar{u}}{\bar{r}^2} + \epsilon^3 \frac{2}{\bar{r}^2} \frac{\partial\bar{w}}{\partial\theta} - \cos\theta + \\ & \left[ \left( \bar{r} \frac{\partial}{\partial\bar{z}} \left( \frac{\bar{u}}{\bar{r}} \right) + \frac{\epsilon^2}{\bar{r}} \frac{\partial\bar{w}}{\partial\theta} \right) \frac{\partial\bar{\eta}}{\partial\bar{z}} + \frac{2\epsilon^2}{\bar{r}^2} \left( \frac{\partial\bar{u}}{\partial\theta} + \epsilon\bar{w} \right) \frac{\partial\bar{\eta}}{\partial\theta} + \epsilon^2 \left( \frac{\partial\bar{u}}{\partial\bar{y}} + \frac{1}{\bar{r}} \frac{\partial\bar{v}}{\partial\theta} \right) \frac{\partial\bar{\eta}}{\partial\theta} \right], \end{aligned} \quad (5-28)$$

$$\begin{aligned} \epsilon^2 \Re \left[ \frac{R}{UT} \frac{\partial \bar{v}}{\partial \bar{t}} + \bar{w} \frac{\partial \bar{v}}{\partial \bar{z}} + \frac{\bar{u}}{\bar{r}} \frac{\partial \bar{v}}{\partial \theta} + \bar{v} \frac{\partial \bar{v}}{\partial \bar{y}} \right] + \epsilon^2 \frac{W}{M} \frac{\partial \bar{v}}{\partial \theta} \\ = -\frac{P}{\rho g R} \frac{\partial \bar{p}}{\partial \bar{y}} + \bar{\nabla}^2 \bar{v} \\ \left[ \epsilon \left( \frac{1}{\epsilon} \frac{\partial \bar{v}}{\partial \bar{z}} + \epsilon \frac{\partial \bar{w}}{\partial \bar{y}} \right) \frac{\partial \bar{\eta}}{\partial \theta} + \epsilon^2 \left( \frac{\partial \bar{u}}{\partial \bar{y}} + \frac{1}{\bar{r}} \frac{\partial \bar{v}}{\partial \theta} \right) \frac{\partial \bar{\eta}}{\bar{r} \partial \theta} + 2\epsilon^2 \frac{\partial \bar{v}}{\partial \bar{y}} \frac{\partial \bar{\eta}}{\partial \bar{y}} \right]. \end{aligned} \quad (5-29)$$

onde  $M$ , neste capítulo, representa o inverso do número de Galilei. A taxa de rotação adimensional  $W$  e o número de Reynolds  $\Re$  são dados por:

$$M = \frac{\mu}{\rho \sqrt{gR^3}}, \quad (5-30)$$

$$W = \frac{\Omega}{\sqrt{g/R}}, \quad (5-31)$$

$$\Re = \frac{\rho UR}{\mu} = \frac{\rho^2 g H^2 R}{\mu^2} \quad (5-32)$$

O termo  $\Re$  define o número de Reynolds tradicional. No caso da aproximação de filme fino, a razão entre os termos inerciais e viscosos é dada por  $\epsilon^2 \Re$ . Para desprezar os termos de inércia será preciso que o número de Reynolds reduzido  $\epsilon^2 \Re$  seja muito pequeno, o que é comum nos problemas de lubrificação.

O operador laplaciano  $\bar{\nabla}^2$  é dado pela seguinte expressão:

$$\bar{\nabla}^2 = R^2 \nabla^2 = \frac{1}{\bar{r}} \frac{\partial}{\partial \bar{z}} \left( \bar{r} \frac{\partial}{\partial \bar{z}} \right) + \frac{\epsilon^2}{\bar{r}^2} \frac{\partial^2}{\partial \theta^2} + \epsilon^2 \frac{\partial^2}{\partial \bar{y}^2}, \quad (5-33)$$

Os termos de ordem  $\mathcal{O}\{\epsilon^2\}$  e  $\mathcal{O}\{\epsilon^2 \Re\}$  e os de mais alta ordem são desprezados, assim as equações ficam reduzidas a:

$$\begin{aligned} -W^2(1 + \epsilon \bar{z}) = -\frac{\partial \bar{p}}{\partial \bar{z}} + \bar{\eta} \left\{ \epsilon \frac{1}{\bar{r}} \frac{\partial}{\partial \bar{z}} \left( \bar{r} \frac{\partial \bar{w}}{\partial \bar{z}} \right) \right\} - \sin \theta \\ + 2\epsilon \frac{\partial \bar{w}}{\partial \bar{z}} \frac{\partial \bar{\eta}}{\partial \bar{z}} + \epsilon \frac{\partial \bar{v}}{\partial \bar{z}} \frac{\partial \bar{\eta}}{\partial \bar{y}}, \end{aligned} \quad (5-34)$$

$$\begin{aligned} 0 = -\frac{\epsilon}{\bar{r}} \frac{\partial \bar{p}}{\partial \theta} + \bar{\eta} \left\{ \frac{1}{\bar{r}} \frac{\partial}{\partial \bar{z}} \left( \bar{r} \frac{\partial \bar{u}}{\partial \bar{z}} \right) \right\} - \cos \theta \\ + \left[ \bar{r} \frac{\partial}{\partial \bar{z}} \left( \frac{\bar{u}}{\bar{r}} \right) \right] \frac{\partial \bar{\eta}}{\partial \bar{z}}, \end{aligned} \quad (5-35)$$

$$0 = -\epsilon \frac{\partial \bar{p}}{\partial \bar{y}} + \bar{\eta} \left\{ \frac{1}{\bar{r}} \frac{\partial}{\partial \bar{z}} \left( \bar{r} \frac{\partial \bar{v}}{\partial \bar{z}} \right) \right\} + \frac{\partial \bar{v}}{\partial \bar{z}} \frac{\partial \bar{\eta}}{\partial \bar{z}} \quad (5-36)$$

As equações podem ser simplificadas ainda mais, ficando assim:

$$-W^2(1 + \epsilon\bar{z}) = -\frac{\partial\bar{p}}{\partial\bar{z}} + \epsilon\bar{\eta}\frac{\partial^2\bar{w}}{\partial\bar{z}^2} - \sin\theta + \epsilon\frac{\partial\bar{v}}{\partial\bar{z}}\frac{\partial\bar{\eta}}{\partial\bar{y}}, \quad (5-37)$$

$$0 = -\frac{\epsilon}{\bar{r}}\frac{\partial\bar{p}}{\partial\theta} + \bar{\eta}\left(\frac{\partial^2}{\partial\bar{z}^2} + \frac{\epsilon}{\bar{r}}\frac{\partial}{\partial\bar{z}}\right)\bar{u} - \cos\theta, \quad (5-38)$$

$$0 = -\epsilon\frac{\partial\bar{p}}{\partial\bar{y}} + \bar{\eta}\left(\frac{\partial^2}{\partial\bar{z}^2} + \frac{\epsilon}{\bar{r}}\frac{\partial}{\partial\bar{z}}\right)\bar{v}. \quad (5-39)$$

multiplicando a eq.5-38 por  $(1 + \epsilon\bar{z})$ , finalmente temos:

$$-W^2(1 + \epsilon\bar{z}) = -\frac{\partial\bar{p}}{\partial\bar{z}} + \epsilon\bar{\eta}\frac{\partial^2\bar{w}}{\partial\bar{z}^2} - \sin\theta + \epsilon\frac{\partial\bar{v}}{\partial\bar{z}}\frac{\partial\bar{\eta}}{\partial\bar{y}}, \quad (5-40)$$

$$0 = -\epsilon\frac{\partial\bar{p}}{\partial\theta} + \epsilon\bar{\eta}\frac{\partial\bar{u}}{\partial\bar{z}} + (1 + \epsilon\bar{z})\left(\bar{\eta}\frac{\partial^2\bar{u}}{\partial\bar{z}^2} - \cos\theta\right), \quad (5-41)$$

$$0 = -\epsilon\frac{\partial\bar{p}}{\partial\bar{y}} + (1 + \epsilon\bar{z})\bar{\eta}\frac{\partial^2}{\partial\bar{z}^2} + \bar{\eta}\epsilon\frac{\partial\bar{v}}{\partial\bar{z}}. \quad (5-42)$$

Analisando as expressões acima indicadas observamos que o termo da aceleração  $W$  (conhecido como aceleração centrípeta,  $R\Omega^2$ ) e o termo da gravidade  $g$  são da mesma ordem de grandeza. Foi desprezado o termo da aceleração de Coriolis, proporcional a  $\epsilon^2W/M$ , onde a quantidade  $W/M = \rho\Omega R^2/\eta$ , pode ser considerada como o número de Reynolds  $\mathfrak{R}_\Omega$  em função da velocidade da parede  $R\Omega$ .

Em relação às condições de contorno, também precisamos torná-las adimensionais para iniciar a análise de perturbação. Para isso, começamos com os vetores normais e tangenciais à superfície livre, obtendo:

$$\begin{aligned} \hat{\mathbf{n}} &= e_r - \epsilon\frac{\partial\bar{h}}{\partial\theta}e_\theta - \epsilon\frac{\partial\bar{h}}{\partial\bar{y}}e_y + \mathcal{O}\{\epsilon^2\}, \\ \hat{\mathbf{t}}_1 &= \epsilon\frac{\partial\bar{h}}{\partial\theta}e_r + e_\theta + \mathcal{O}\{\epsilon^2\}, \\ \hat{\mathbf{t}}_2 &= \epsilon\frac{\partial\bar{h}}{\partial\bar{y}}e_r + e_y + \mathcal{O}\{\epsilon^2\}. \end{aligned} \quad (5-43)$$

Sendo que a curvatura média da superfície livre é dada por:

$$\bar{\kappa} = \bar{\nabla} \cdot \hat{\mathbf{n}} = 1 - \epsilon\bar{h} - \epsilon\bar{\nabla}^2\bar{h} + \mathcal{O}\{\epsilon^2\}, \quad (5-44)$$

As condições de contorno em forma adimensional são:

1. Não deslizamento na superfície do cilindro( $\bar{z} = 0$ ):

$$\bar{u} = \bar{w} = \bar{v} = 0 \quad (5-45)$$

2. Na superfície livre,  $\bar{z} = \bar{h}$ , as tensões de cisalhamento são desprezadas:

$$\hat{\mathbf{n}} \cdot \underline{\underline{\tau}} \cdot \hat{\mathbf{t}}_\alpha = 0 \quad ; \quad \alpha = (\theta, \bar{y}) \quad (5-46)$$

3. Balanço de forças na interface,  $\bar{z} = \bar{h}$ :

$$-\bar{p} + \epsilon \hat{\mathbf{n}}_i \cdot \underline{\underline{D}}_{ij} \cdot \hat{\mathbf{n}}_j = -\frac{1}{\epsilon Bo} \bar{\kappa}, \quad (5-47)$$

onde  $\underline{\underline{D}}_{ij}$  representa os componentes do tensor deformação e  $Bo = \rho g R^2 / \sigma$  é o número de *Bond*.

As variáveis são expandidas em potências de  $\epsilon$ , assim:

$$\bar{p} = \epsilon^{-1} p_0 + p^{(0)} + \epsilon p^{(1)} + \dots, \quad (5-48)$$

$$\bar{u} = u^{(0)} + \epsilon u^{(1)} + \dots, \quad (5-49)$$

$$\bar{v} = v^{(0)} + \epsilon v^{(1)} + \dots, \quad (5-50)$$

$$\bar{w} = w^{(0)} + \epsilon w^{(1)} + \dots, \quad (5-51)$$

Das equações (5-44) e (5-47) concluímos que  $p_0$  é constante,  $p_0 = Bo^{-1}$ . De acordo com a eq.5-48, a pressão adicional é devido ao filme que é forçado a levar a forma do cilindro com raio de curvatura  $1/R$ . Em todo caso, não é seu valor absoluto que afeta o escoamento, e sim os gradientes de pressão. A seguinte ordem da pressão obtida das equações 5-44 e 5-47 é:

$$p^{(0)} = -\frac{1}{Bo} (\bar{h} + \nabla^2 \bar{h}) \quad \text{para } \bar{z} = \bar{h}.$$

Assim, o sistema de equações para as variáveis de ordem (0) é:

– Equação de continuidade:

$$\frac{\partial w^{(0)}}{\partial \bar{z}} + \frac{\partial u^{(0)}}{\partial \theta} + \frac{\partial v^{(0)}}{\partial \bar{y}} = 0. \quad (5-52)$$

– Equação de Conservação da Quantidade de Movimento linear:

$$-W^2 = -\frac{\partial p^{(0)}}{\partial \bar{z}} - \sin \theta, \quad (5-53)$$

$$0 = \eta \frac{\partial^2 u^{(0)}}{\partial \bar{z}^2} - \cos \theta, \quad (5-54)$$

$$0 = \eta \frac{\partial^2 v^{(0)}}{\partial \bar{z}^2}. \quad (5-55)$$

– Condições de contorno na mesma ordem 0:

$$\begin{aligned} u^{(0)} = w^{(0)} = v^{(0)} = 0 & \quad \text{para} \quad \bar{z} = 0, \\ p^{(0)} = -\frac{1}{Bo}(\bar{h} + \nabla^2 \bar{h}) & \quad \text{para} \quad \bar{z} = \bar{h}, \\ \frac{\partial u^{(0)}}{\partial \bar{z}} = \frac{\partial v^{(0)}}{\partial \bar{z}} = 0 & \quad \text{para} \quad \bar{z} = \bar{h}. \end{aligned}$$

Integrando a equação (5-53) podemos obter a expressão da pressão na ordem (0):

$$p_z^{(0)} = -\frac{1}{Bo}(\bar{h} + \nabla^2 \bar{h}) + (W^2 - \sin \theta)[\bar{z} - \bar{h}], \quad (5-56)$$

à partir da integração da equação (5-54), calculamos o componente  $u$ :

$$u^{(0)} = \frac{\cos \theta}{\eta} \left[ \frac{\bar{z}^2}{2} - \bar{h}\bar{z} \right], \quad (5-57)$$

e da equação (5-55), calculamos o componente  $v$ :

$$v^{(0)} = 0, \quad (5-58)$$

Por último, da equação (5-52), calculamos o componente  $w$ :

$$w^{(0)} = \frac{\cos \theta}{2\eta} \frac{\partial \bar{h}}{\partial \theta} \bar{z}^2 + \frac{\sin \theta}{\eta} \left( \frac{\bar{z}^3}{6} - \frac{\bar{h}\bar{z}^2}{2} \right) + \frac{\cos \theta}{\eta^2} \frac{\partial \eta}{\partial \theta} \left( \frac{\bar{z}^3}{6} - \frac{\bar{h}\bar{z}^2}{2} \right). \quad (5-59)$$

O sistema de equações para as variáveis de ordem (1) é:

– Equação de continuidade:

$$\frac{\partial w^{(1)}}{\partial \bar{z}} + \frac{\partial (zw^{(0)})}{\partial \bar{z}} + \frac{\partial u^{(1)}}{\partial \theta} + \frac{\partial v^{(1)}}{\partial \bar{y}} + z \frac{\partial v^{(0)}}{\partial \bar{y}} = 0, \quad (5-60)$$

– Equação de Conservação da Quantidade de Movimento:

$$-W^2 \bar{z} = -\frac{\partial p^{(1)}}{\partial \bar{z}} + \eta \frac{\partial^2 w^{(1)}}{\partial \bar{z}^2} + \frac{\partial v^{(1)}}{\partial \bar{z}} \frac{\partial \eta}{\partial \bar{y}}, \quad (5-61)$$

$$0 = -\frac{\partial p^{(0)}}{\partial \theta} + \eta \frac{\partial u^{(0)}}{\partial \bar{z}} + \bar{z} \left( \eta \frac{\partial^2 u^{(0)}}{\partial \bar{z}^2} - \cos \theta \right) + \eta \frac{\partial^2 u^{(1)}}{\partial \bar{z}^2}, \quad (5-62)$$

$$0 = -\frac{\partial p^{(0)}}{\partial \bar{y}} + \eta \frac{\partial^2 v^{(1)}}{\partial \bar{z}^2} + \eta \left( \bar{z} \frac{\partial^2 v^{(0)}}{\partial \bar{z}^2} + \frac{\partial v^{(0)}}{\partial \bar{z}} \right). \quad (5-63)$$

– Condições de contorno na mesma ordem 1:

$$\begin{aligned} u^{(1)} = w^{(1)} = v^{(1)} = 0 & \quad \text{para} \quad \bar{z} = 0 \\ \frac{\partial u^{(1)}}{\partial \bar{z}} = u^0 = \frac{\cos \theta}{\eta} \left[ \frac{\bar{z}^2}{2} - \bar{h}\bar{z} \right] & \quad \text{para} \quad \bar{z} = \bar{h} \\ \frac{\partial v^{(1)}}{\partial \bar{z}} = 0 & \quad \text{para} \quad \bar{z} = \bar{h}. \end{aligned}$$

Das equações (5-62) e (5-63), obtemos os componentes das velocidades  $u$  e  $v$ , respectivamente:

$$u^{(1)} = \left[ \frac{1}{\eta B_o} \frac{\partial}{\partial \theta} (\bar{h} + \nabla^2 \bar{h}) + \frac{(W^2 - \sin \theta)}{\eta} \frac{\partial \bar{h}}{\partial \theta} \right] \left( \bar{h} \bar{z} - \frac{\bar{z}^2}{2} \right) + \frac{\cos \theta}{\eta} \left( -\frac{\bar{z}^3}{3} + \bar{h} \bar{z}^2 - 3 \frac{\bar{h}^2 \bar{z}}{2} \right) \quad (5-64)$$

$$v^{(1)} = - \left[ \frac{1}{\eta B_o} \frac{\partial}{\partial y} (\bar{h} + \nabla^2 \bar{h}) + \frac{(W^2 - \sin \theta)}{\eta} \frac{\partial \bar{h}}{\partial y} \right] \left( \frac{\bar{z}^2}{2} - \bar{h} \bar{z} \right) \quad (5-65)$$

### 5.3

#### Equação da evolução da espessura do líquido injetado com o tempo

Como a localização da superfície livre é desconhecida, é preciso adicionar uma condição extra, a condição cinemática, que descreve fisicamente que o líquido não pode atravessar a superfície livre. Assim analisaremos esta condição para obter a variação da espessura do líquido com o tempo  $\partial h / \partial t$ , i.e. sua evolução através do tempo.

O escoamento consiste de um líquido injetado através de uma porta de injeção, como indicado no capítulo anterior, que escorre sobre a superfície do cilindro. O líquido deve descrever um movimento de corpo rígido  $r\Omega$  e um outro de drenagem  $u$ . Integrando a equação de continuidade através da espessura de revestimento e considerando a injeção de líquido representada por  $\Phi$ , obtemos:

$$\frac{\partial h}{\partial t} + \frac{r\Omega + u}{r} \frac{\partial h}{\partial \theta} + v \frac{\partial h}{\partial y} - w = \Phi(\theta, y), \quad (5-66)$$

em  $z = h$ ,  $w = 0$ . A equação anterior pode ser expressa em função das vazões:

$$r \frac{\partial h}{\partial t} + \frac{\partial Q_\theta}{\partial \theta} + R \frac{\partial Q_y}{\partial y} = r \Phi(\theta, y), \quad (5-67)$$

onde,  $Q_\theta$  é o componente da vazão na direção  $\theta$  e sendo dado por:

$$Q_\theta = \int_0^h [(R + z)\Omega + u] dz, \quad (5-68)$$

Usando a equação (5-49), temos:

$$\begin{aligned} Q_\theta &= \int_0^h (R + z)\Omega dz + \int_0^h u dz \\ &= \left( Rh + \frac{1}{2} h^2 \right) \Omega + UH \int_0^{\bar{h}} (u^{(0)} + \epsilon u^{(1)}) d\bar{z} \end{aligned} \quad (5-69)$$

com  $u^{(0)}$  e  $u^{(1)}$  dados pelas equações (5-57) e (5-64)

$$\begin{aligned} \frac{Q_\theta}{UH} &= \frac{\Omega R}{U} \left( \bar{h} + \epsilon \frac{\bar{h}^2}{2} \right) + \frac{\cos \theta}{\eta} \left( \frac{\bar{h}^3}{6} - \frac{\bar{h}^3}{2} \right) + \\ &- \epsilon \left[ \frac{1}{\eta Bo} \frac{\partial}{\partial \theta} (\bar{h} + \nabla_s^2 \bar{h}) + \frac{(W^2 - \sin \theta)}{\eta} \frac{\partial \bar{h}}{\partial \theta} \right] \int_0^{\bar{h}} \left( \bar{h} \bar{z} - \frac{\bar{z}^2}{2} \right) d\bar{z} + \\ &- \epsilon \int_0^{\bar{h}} \frac{\cos \theta}{\eta} \left( \frac{\bar{z}^3}{3} - \bar{h} \bar{z}^2 + \frac{3\bar{h}^2 \bar{z}}{2} \right) d\bar{z} \end{aligned}$$

Definindo  $U_\Omega = \Omega R/U$  como a relação das velocidades de rotação da parede do cilindro e a velocidade característica do líquido, assim:

$$\begin{aligned} \frac{Q_\theta}{UH} &= U_\Omega \left( \bar{h} + \epsilon \frac{\bar{h}^2}{2} \right) - \frac{\cos \theta}{\eta} \left( \frac{\bar{h}^3}{3} + \epsilon \frac{\bar{h}^4}{4} \right) \\ &+ \epsilon \frac{\bar{h}^3}{3} \left[ \frac{1}{\eta Bo} \frac{\partial}{\partial \theta} (\bar{h} + \nabla_s^2 \bar{h}) + \frac{(W^2 - \sin \theta)}{\eta} \frac{\partial \bar{h}}{\partial \theta} \right] \end{aligned} \quad (5-70)$$

Procedendo da mesma forma análoga para a direção  $y$ :

$$Q_y = \frac{1}{R} \int_0^h v(R+z) dz. \quad (5-71)$$

E usando as definições dadas pelas equações (5-50), obtém-se:

$$Q_y = UH \int_0^{\bar{h}} (v^{(0)} + \epsilon v^{(1)})(1 + \epsilon \bar{z}) d\bar{z} \quad (5-72)$$

com  $v^{(0)}$  e  $v^{(1)}$  dados pelas equações (5-58) e (5-65):

$$\begin{aligned} \frac{Q_y}{UH} &= \int_0^{\bar{h}} (v^{(0)} + \epsilon v^{(1)})(1 + \epsilon \bar{z}) d\bar{z} = \int_0^{\bar{h}} \epsilon v^{(1)} d\bar{z} = \\ &= -\epsilon \left[ \frac{1}{\eta Bo} \frac{\partial}{\partial y} (\bar{h} + \nabla_s^2 \bar{h}) + \frac{(W^2 - \sin \theta)}{\eta} \frac{\partial \bar{h}}{\partial y} \right] \int_0^{\bar{h}} \left( \frac{\bar{z}^2}{2} - \bar{h} \bar{z} \right) d\bar{z} = \\ &= \epsilon \frac{\bar{h}^3}{3} \left[ \frac{1}{\eta Bo} \frac{\partial}{\partial y} (\bar{h} + \nabla_s^2 \bar{h}) + \frac{(W^2 - \sin \theta)}{\eta} \frac{\partial \bar{h}}{\partial y} \right]. \end{aligned} \quad (5-73)$$

Substituindo os resultados das equações (5-70) e (5-73) em (5-67) e tornando-a adimensional, obtemos:

$$\begin{aligned} (1 + \epsilon \bar{h}) \frac{\partial \bar{h}}{\partial t} + U_\Omega \frac{\partial}{\partial \theta} \left( \bar{h} + \epsilon \frac{\bar{h}^2}{2} \right) - \frac{\partial}{\partial \theta} \left[ \left( \frac{\bar{h}^3}{3} + \epsilon \frac{\bar{h}^4}{4} \right) \frac{\cos \theta}{\eta} \right] + \\ + \epsilon \frac{\partial}{\partial \theta} \left\{ \frac{\bar{h}^3}{3} \left[ \frac{1}{\eta Bo} \frac{\partial}{\partial \theta} (\bar{h} + \nabla_s^2 \bar{h}) + \frac{(W^2 - \sin \theta)}{\eta} \frac{\partial \bar{h}}{\partial \theta} \right] \right\} + \\ + \epsilon \frac{\partial}{\partial y} \left\{ \frac{\bar{h}^3}{3} \left[ \frac{1}{\eta Bo} \frac{\partial}{\partial y} (\bar{h} + \nabla_s^2 \bar{h}) + \frac{(W^2 - \sin \theta)}{\eta} \frac{\partial \bar{h}}{\partial y} \right] \right\} = (1 + \epsilon \bar{h}) \frac{R}{UH} \Phi(\theta, y) \end{aligned}$$

O termo fonte  $\Phi(\theta, y)$ , como mostrado na figura 4.6, é função da taxa de injeção  $\Gamma$ . A equação da evolução de forma adimensional é:

$$(1 + \epsilon \bar{h}) \frac{\partial \bar{h}}{\partial t} = -U_{\Omega} \frac{\partial}{\partial \theta} \left( \bar{h} + \epsilon \frac{\bar{h}^2}{2} \right) + \frac{\partial}{\partial \theta} \left[ \left( \frac{\bar{h}^3}{3} + \epsilon \frac{\bar{h}^4}{2} \right) \cos \theta \right] - \epsilon \bar{\nabla}_s \cdot \left\{ \frac{\bar{h}^3}{3Bo} \bar{\nabla}_s (\bar{h} + \bar{\nabla}_s^2 \bar{h}) + \frac{\bar{h}^3}{3} [W^2 - \sin \theta] \bar{\nabla}_s \bar{h} \right\} + \frac{(1 + \epsilon \bar{h})}{\epsilon^3} M \bar{\Phi}, \quad (5-74)$$

onde,  $\bar{\nabla}_s = R \nabla_s = e_{\theta} \left( \frac{\partial}{\partial \theta} \right) + e_y \left( \frac{\partial}{\partial \bar{y}} \right)$  e  $\bar{\nabla}_s^2 = R^2 \nabla_s^2 = \frac{\partial^2}{\partial \theta^2} + \frac{\partial^2}{\partial \bar{y}^2}$ .

A taxa de injeção é adimensionalizada com:

$$\bar{\Gamma} = \Gamma / \sqrt{gR^5} \quad (5-75)$$

Assim, a parcela do termo fonte se torna adimensional com ajuda das equações (5-23), (5-30) e (5-75):

$$\begin{aligned} \frac{R\Phi}{UH} &= \frac{R}{UH} \frac{2\Gamma}{\pi R^2 \bar{R}_f^2} \left[ 1 - \left( \frac{\bar{r}_{\phi}}{\bar{R}_f} \right)^2 \right] = \\ &= \frac{R\mu}{\rho g H^3 R^2} \frac{2\Gamma}{\pi \bar{R}_f^2} \left[ 1 - \left( \frac{\bar{r}_{\phi}}{\bar{R}_f} \right)^2 \right] = \\ &= \frac{\mu}{\rho g H^3 R} \frac{2\sqrt{gR} R^2 \bar{\Gamma}}{\pi \bar{R}_f^2} \left[ 1 - \left( \frac{\bar{r}_{\phi}}{\bar{R}_f} \right)^2 \right] = \\ &= \underbrace{\frac{\mu}{\rho \sqrt{gR^3}}}_{M} \frac{\sqrt{gR^3}}{gH^3 R} \sqrt{gR} R^2 \overbrace{\frac{2\bar{\Gamma}}{\pi \bar{R}_f^2} \left[ 1 - \left( \frac{\bar{r}_{\phi}}{\bar{R}_f} \right)^2 \right]}^{\bar{\Phi}} = \frac{M\bar{\Phi}}{\epsilon^3} \end{aligned} \quad (5-76)$$

Os termos acima indicados contêm todos os mecanismos físicos responsáveis pelo escoamento: convecção do fluido pela rotação, drenagem devido aos componentes da gravidade, efeitos de tensão superficial, injeção contínua de fluido e a variação da viscosidade em função do tempo e do espaço. Considerando a viscosidade constante, esta equação pode ser simplificada, obtendo a equação da evolução analisada no capítulo anterior.

## 5.4 Solução numérica

Para o desenvolvimento de um modelo numérico é conveniente ter todos os comprimentos medidos numa escala em comum. Redimensionando todos os comprimentos, incluindo a espessura do filme, como sendo medidos em unidades de  $R$  e definindo  $MW = -U_{\Omega} \epsilon^2$ , a equação da evolução se torna

assim:

$$\begin{aligned} \frac{\partial h^*}{\partial t} = & - MW \frac{\partial h^*}{\partial \theta} + \frac{\partial}{\partial \theta} \left[ \left( \frac{h^{*3}}{3} \right) \frac{\cos \theta}{\eta} \right] + \\ & - \nabla_s \cdot \left\{ \frac{h^{*3}}{3} \left[ \frac{1}{\eta Bo} \frac{\partial}{\partial \theta} (h^* + \nabla_s^2 h^*) \frac{(W^2 - \sin \theta)}{\eta} \frac{\partial h^*}{\partial \theta} \right] \right\} + \\ & + \Phi(\theta, y) \end{aligned} \quad (5-77)$$

A partir de agora, as estrelas (\*) e as barras (-) das quantidades adimensionais serão retiradas para simplificar a notação. A presença do número inverso de Galilei,  $M$ , junto com o valor da velocidade de injeção  $\bar{\Phi}$ , estava prevista como na equação (2-14) da seção (2.2). A combinação deles representa a força de injeção de líquido, i.e., quanto mais viscoso o líquido é, maior será a pressão de injeção.

A quantidade  $U_\Omega = MW\epsilon^{-2}$  define a razão entre a velocidade da parede do cilindro  $R\Omega$  e a velocidade característica  $U$ . Os parâmetros de operação para o cilindro fotorreceptor, considerando a pseudo-solidificação, são determinados por:  $Bo, M, W, \Gamma, V_{inj}, \epsilon$  e  $\eta$ , sendo que a presença do parâmetro  $\eta$  dentro da equação acima permite descrever a variação da viscosidade em função da posição  $\theta, y$  e do tempo.

A equação resultante é uma equação de quarta ordem no espaço e de primeira ordem no tempo. Ela foi resolvida utilizando o Método de Diferenças Finitas. Sendo um caso similar ao tratado na seção 2.4

As condições iniciais são prescritas por uma espessura:  $h(x, y, 0) = h^0 = \epsilon$ . No início, a superfície encontra-se sem fluido e como estamos utilizando o modelo de filme precursor, o valor de  $h^0$  ao longo do domínio irá se tornar o valor da espessura do filme precursor  $H_f$ . De acordo com a física do problema, é necessário a utilização da condição de contorno periódica na direção  $\theta$  e na direção  $y$  é necessário uma condição de reflexão simétrica que é a imposição de fluxo zero.

A discretização espacial e temporal utilizada é igual a mencionada no capítulo anterior, que resulta num sistema de  $Ntot$  equações algébricas não-lineares. O método usado com frequência para resolver este tipo de equações e aplicado neste trabalho é o método de Newton (ou Newton Rhapson) como já comentado na seção 2.4.6. O critério de convergência adotado foi de  $\xi = 10^{-11}$ , isto é:

$$\|\vec{R}\|_2 \leq \xi, \quad (5-78)$$

onde  $\vec{R}$  é o vetor resíduo.

### 5.4.1

#### Mapeamento temporal e espacial de $\eta$

A viscosidade  $\eta$  do líquido injetado na superfície do cilindro se altera em função do tempo de residência, denotado por  $t_{res}$ . Inicia-se o processo de solidificação em  $t_{res} = t_{\eta_{Ini}}$ , da Fig. 5.2, e após este tempo a viscosidade se incrementará em forma linear ou exponencial dependendo da taxa de solidificação do fluido a ser modelado. O gráfico destes tipos de funções é mostrado na Fig. 5.2. Variáveis adicionais são utilizadas para realizar o mapeamento da variação da viscosidade do líquido no domínio  $(\theta, y)$ . A cada passo de tempo  $\Delta t$ , a nova posição do filme revestido é mapeada e a variável  $t_{res}$  é atualizada de acordo com essa nova posição, como mostrado na Fig. 5.3. Como a viscosidade é em função do tempo de residência, também tem que ser atualizada a cada passo do tempo. O critério do mapeamento também é dado em função do filme precursor  $H_f$ , sendo assim, o tempo de residência foi atualizado nas regiões que apresentaram espessuras maiores a 10 %  $H_f$ .

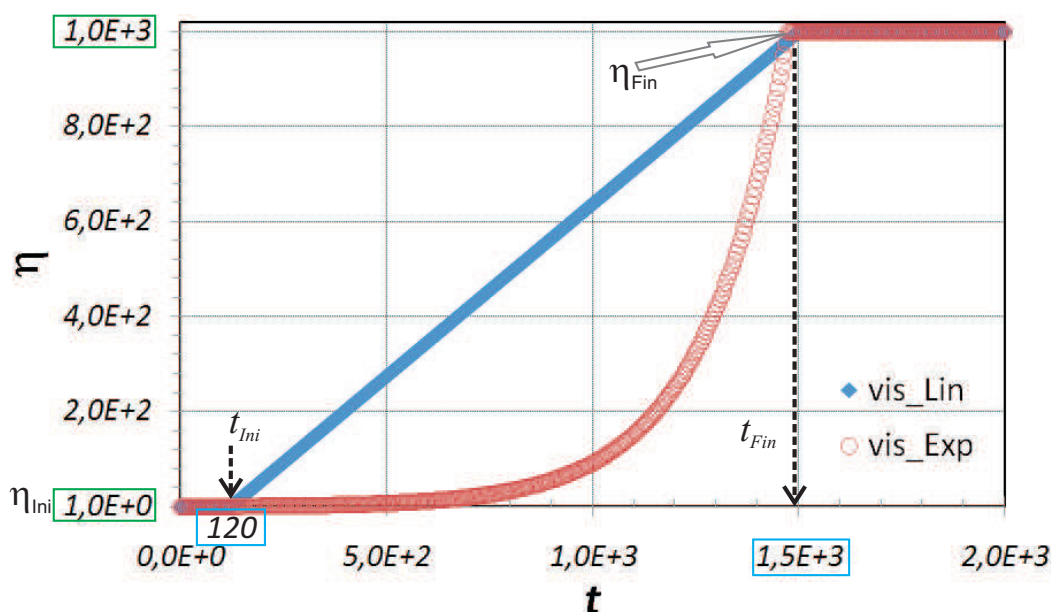


Figura 5.2: Viscosidade como uma função do tempo.  $\eta_{Ini} = 1,0$  e  $\eta_{Fin} = 1000$  para um  $t_{\eta_{Ini}} = 120$  e  $t_{\eta_{Fin}} = 1500$ .

## 5.5

### Resultados

O parâmetro de interesse neste capítulo é a viscosidade que simula o processo de pseudo-solidificação. A variação deste em função do tempo será de forma exponencial. Para tal efeito irá configurar-se a viscosidade em

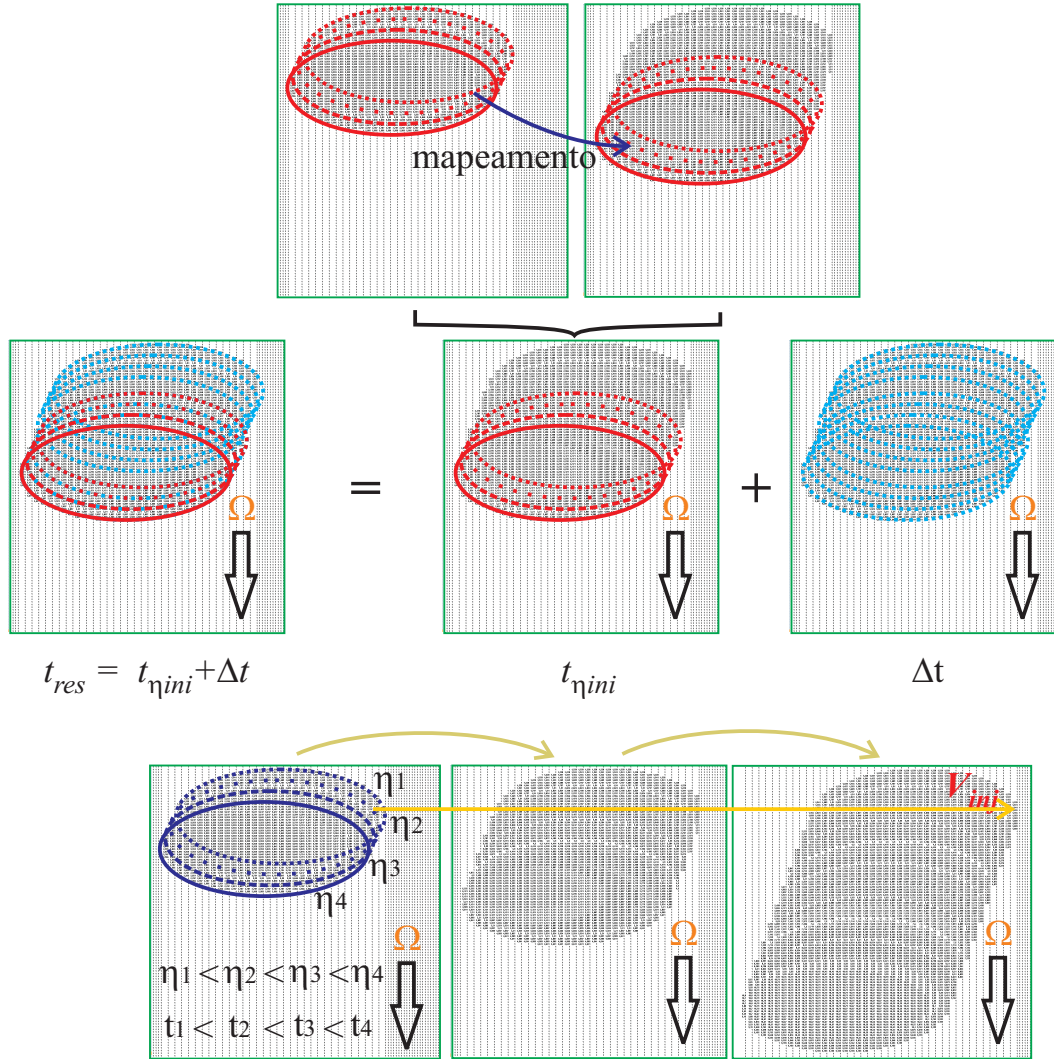


Figura 5.3: Mapeamento de  $\eta$ .

concordância ao seu valor inicial e final, i.e.  $\eta_{Ini}$  e  $\eta_{Fin}$  para um  $t_{\eta Ini}$  e  $t_{\eta Fin}$ , respectivamente, como mostrado na Fig. 5.2.

Em  $t = t_{res} = t_{\eta ini}$  inicia-se o processo de solidificação, e após este tempo, a viscosidade irá incrementar-se exponencialmente de acordo com a seguinte equação:

$$\eta = C_1 e^{b(t-t_{\eta Ini})}, \quad (5-79)$$

onde  $C_1 = 1$  e  $b = \ln(\eta_{Fin}/\eta_{Ini})/(t_{\eta Fin} - t_{\eta Ini})$

Os valores dos casos analisados apresentam-se na tabela 5.1:

Os parâmetros adimensionais foram fixados nos seguintes valores  $M = 0,007$ ,  $R_f = 0,25$ ,  $H_f = 3 \times 10^{-5}$ ,  $\Gamma = 0,001$  e  $\eta_{Fin} = 1000$ ,  $\eta_{Ini} = 1,0$ ,  $t_{\eta Fin} = 1500$ ,  $t_{\eta ini} = 120$ . A porta de injeção, neste caso, foi colocada na posição  $(\theta_{cp,t}; y_{cp,0}) = (\pi/3; 1,05 \times R_f)$  alterando-se a uma velocidade  $V_{inj} = 0,001$  até atingir um valor de  $y_{cp,t} = L_Y - 1,05 \times R_f$ . Sendo que os valores de  $W$  e de  $V_{inj}$  serão indicados nas seções seguintes.

Tabela 5.1: Valores dos parâmetros utilizados.

	Bo1	Bo3	Bo4	Bo5
$a$	0,1	1,0	0,3162	10,0
$R_o$	1,0	1,0	1,0	1,0
$Bo$	100	1,0	0,1	0,01

### 5.5.1 Efeito de nivelamento

Como indicado na seção 4.6.4, a análise foi realizada investigando a solução em dois instantes de tempo, como no capítulo anterior. A figura 5.4a representa o primeiro intervalo, caracterizado pelo momento em que a porta de injeção atinge a distância final axial, definida por  $(y_{cp,0} = L_y - 1,25 \times R_f)$ . Este gráfico apresenta o perfil da espessura do filme ao longo da direção axial,  $y$ , para diferentes números de  $Bo = 100; 1,0; 0,1; 0,01$  e  $W = 3,0$  no tempo  $t = 1,6 \times 10^3$  (igual ao tempo alcançado nos casos do capítulo anterior pelo fato de estar utilizando os mesmos valores dos parâmetros operacionais  $W$  e  $V_{inj}$ ). Este perfil foi medido em um dos quadrantes do cilindro, neste caso em  $\theta = \pi/2$ . Para  $Bo = 100$  o efeito de nivelamento é fraco e portanto o padrão de onda mantém-se constante. O efeito de solidificação não teve uma contribuição importante. Para valores de  $Bo = 0,1$  e  $Bo = 0,01$ , pode-se apreciar no intervalo  $y[0,24; 0,64]$ , correspondente à interação das duas primeiras tiras de líquido depositadas, que o efeito da pseudo-solidificação ajuda a reduzir o efeito *heavy edge* mencionado no capítulo anterior, pelo incremento do valor da viscosidade nesta região.

O gráfico 5.4b mostra o perfil da espessura do filme revestido no segundo instante de tempo, como já descrito no capítulo anterior, em  $t = 1,6 \times 10^4$  para  $Bo = 100$ ,  $Bo = 1,0$ , para  $Bo = 0,1$  e para  $Bo = 0,01$ , medido na mesma posição  $\theta = \pi/2$ . Pode-se notar um melhor controle do efeito de borda como mostrados nos casos sem considerar solidificação (ver Fig. 4.17c). Isso acontece pelo fato que o termo viscoso, da equação de evolução do filme, é dominante. Também se pode observar que o padrão ondulado não é suavizado.

A Figura 5.5 mostra os resultados da comparação do caso base sem considerar solidificação e os casos obtidos neste capítulo mantendo obviamente os mesmos parâmetros de operação. A figura mostra os perfis de espessura de filme revestido para  $t = 1,6 \times 10^3$  para  $Bo = 1,0$  e  $Bo = 0,01$ . Esta figura mostra algumas evidências da pseudo-solidificação, indo contra o efeito da força de tensão superficial pelo aumento constante do valor da viscosidade. O comportamento do perfil está diretamente relacionado com os dados de entrada da função da viscosidade. Os resultados mostrados neste capítulo estão

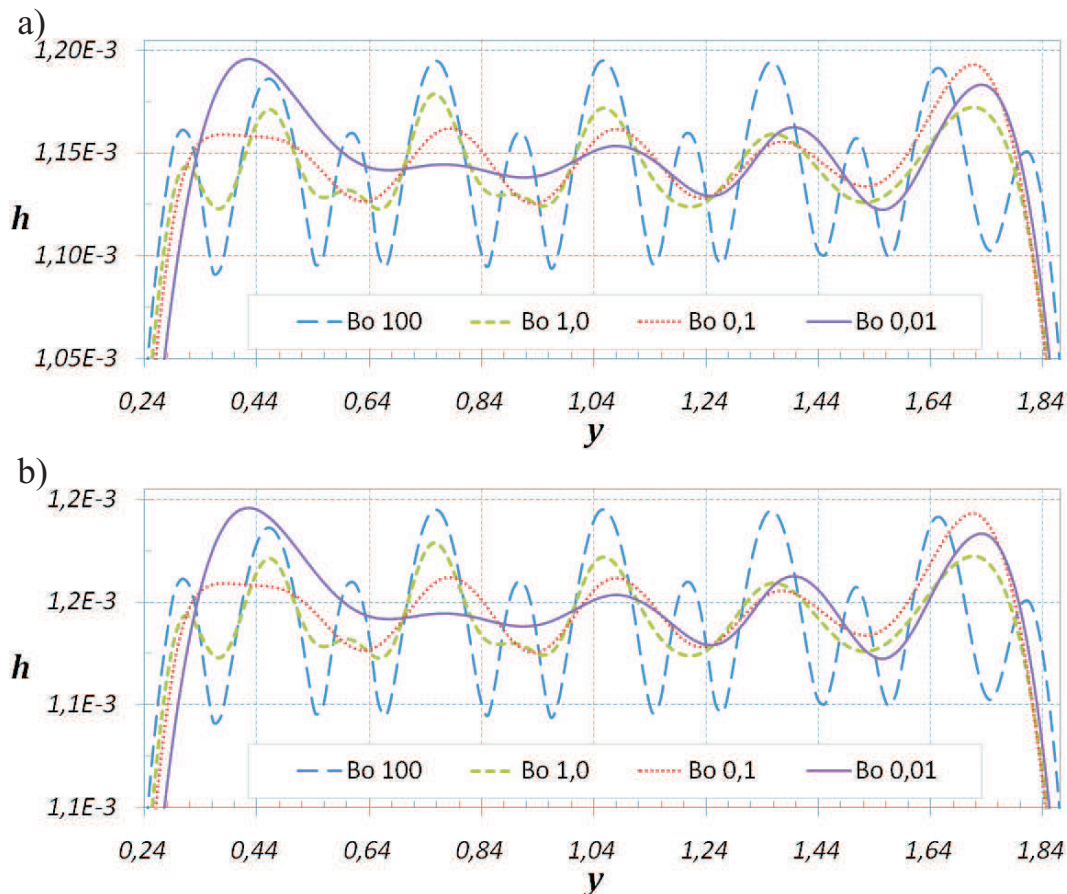


Figura 5.4: Gráfico do perfil da espessura do filme depositado em  $\theta = \pi/2$  (Corte (A-A)): a) no instante no qual a porta de injeção atinge a distância final axial. b) No seguinte intervalo de tempo  $t$  com o cilindro estacionário.

limitados a um caso particular da variação da viscosidade de forma exponencial com  $t_{\eta_{Fin}}$  escolhido arbitrariamente com a finalidade de testar a equação de evolução considerando o efeito de pseudo-solidificação.

Uma comparação, no segundo instante de tempo  $t = 1,6 \times 10^4$ , dos perfis de espessura com  $Bo = 0,1$  é mostrada na Fig. 5.6. Pode-se apreciar um melhor controle do efeito *heavy edge* pelo incremento substancial do valor da viscosidade ao longo da camada. O perfil do filme revestido para o caso base muda ao longo do tempo. No caso de pseudo-solidificação, na situação em que a porção do líquido atinge o tempo  $t_{\eta_{Fin}}$ , o perfil nessa região não mudará, porque o termo viscoso da equação de evolução é dominante.

No capítulo anterior foi discutida a situação de um prolongado tempo de nivelamento que pode acarretar no efeito de drenagem do líquido revestido pela força gravitacional. Foram realizadas medições de espessura média em  $\theta = \pi/2$  e  $\theta = 3\pi/2$ , para  $Bo = 1,0$ , ao longo do tempo e comparadas com o caso do capítulo anterior. A figura 5.7 visualiza os resultados comparativos destes

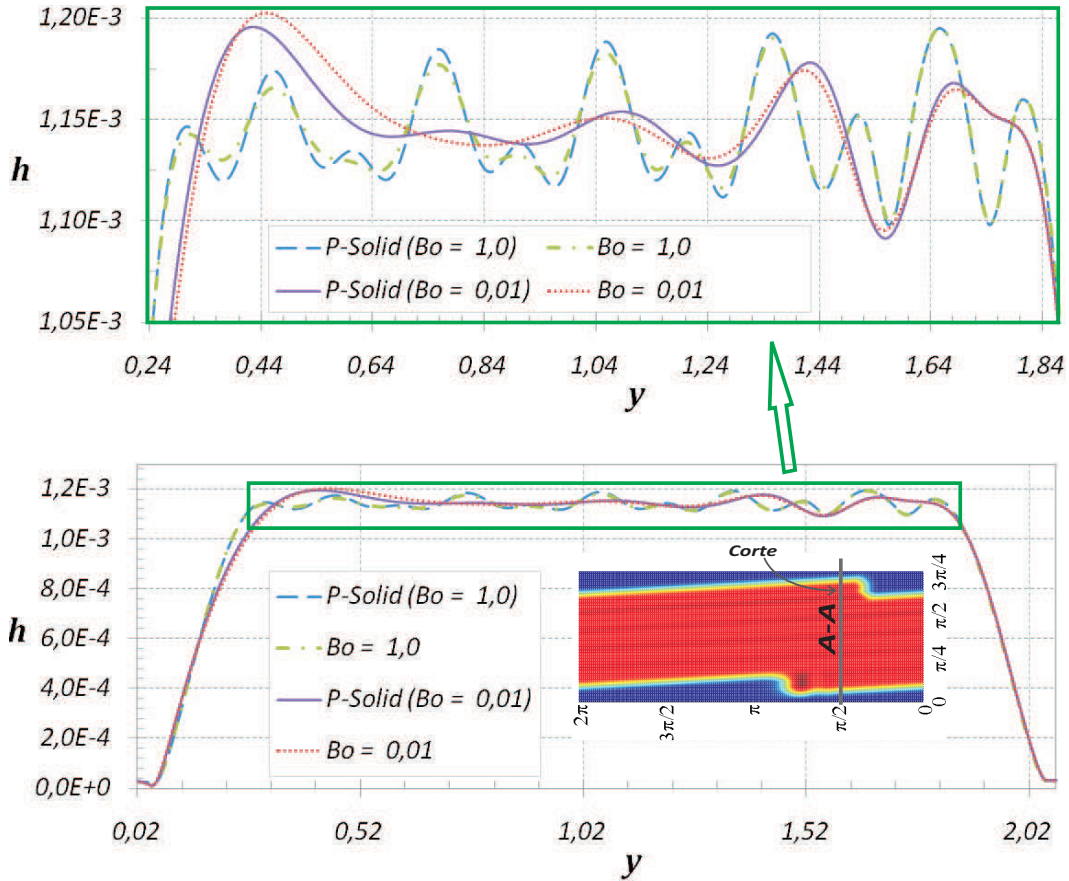


Figura 5.5: Perfis de espessura obtidos para os casos  $Bo = 1,0$  e  $Bo = 0,01$  para  $t = 1,6 \times 10^3$ . Comparação do caso base sem considerar solidificação e os casos obtidos neste capítulo, para os mesmos parâmetros de operação.

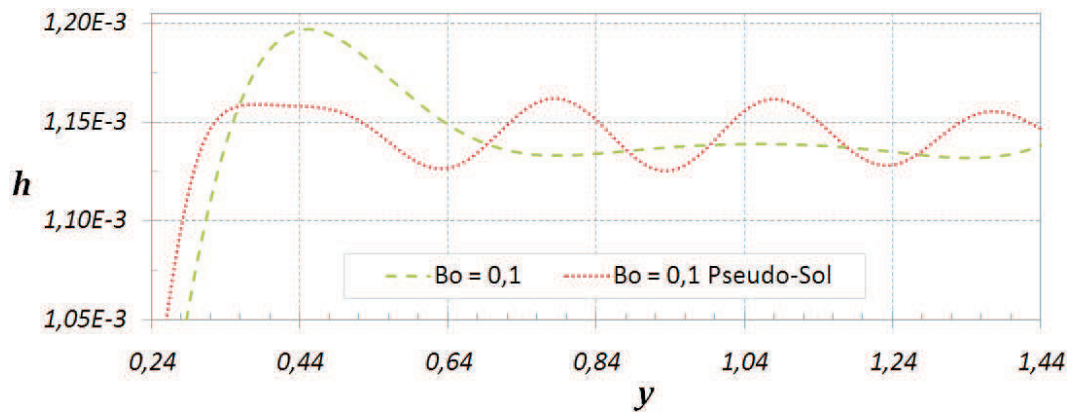


Figura 5.6: Comparação dos perfis de espessura obtidos em  $t = 1,45 \times 10^4$  medida em  $\theta = \pi/2$ . Com pseudo-solidificação representada com linha tracejada e sem pseudo-solidificação com linha pontilhada.

resultados e claramente mostra o controle do efeito da força gravitacional.

Na figura 5.8, visualiza-se o resultado do modelo quando é testado em baixas velocidades de rotação  $W$  (descrito no final do capítulo anterior),

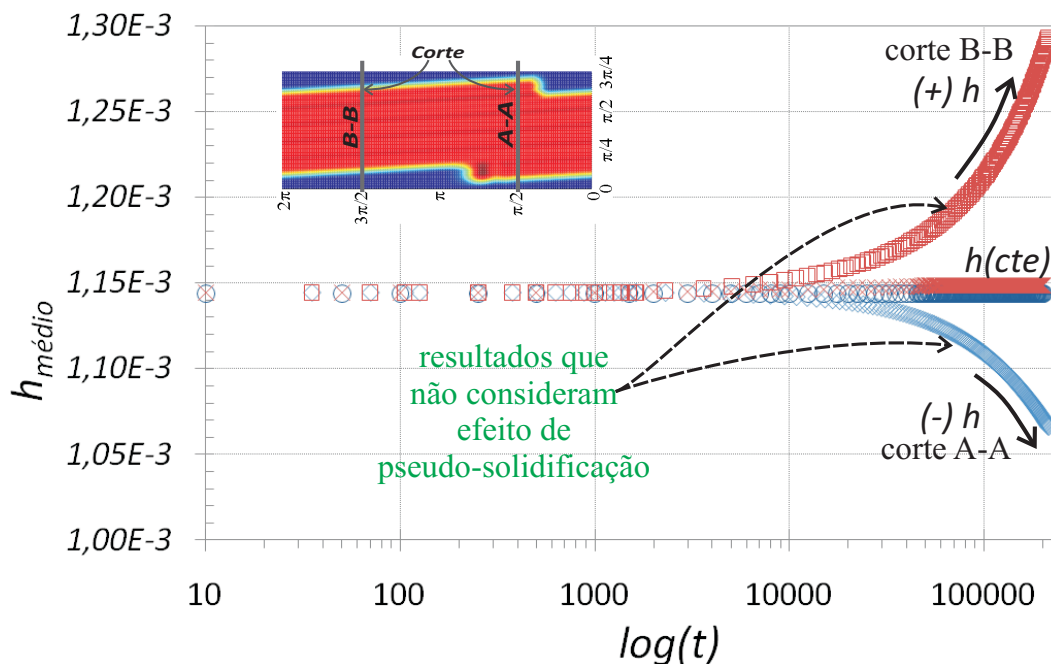


Figura 5.7: Comparação da espessura média ao longo do tempo, medida em  $\theta = \pi/2$  e  $\theta = 3\pi/2$  para  $Bo = 1,0$ , obtidas pela análise do capítulo 4 e 5.

para  $Bo = 1,0$ , mostrando em ambos os casos o controle do efeito da força gravitacional.

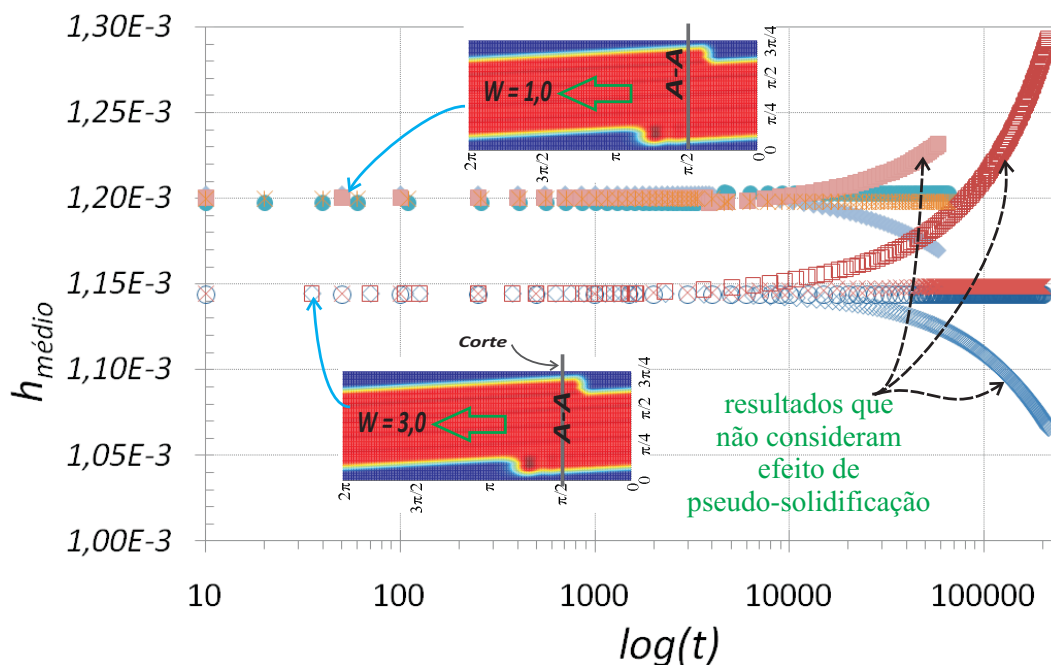


Figura 5.8: Espessura média ao longo do tempo, medida em  $\theta = \pi/2$  e  $\theta = 3\pi/2$  para  $Bo = 1,0$ . Com  $W = 1,0$  (superior) e com  $W = 3,0$  (inferior).